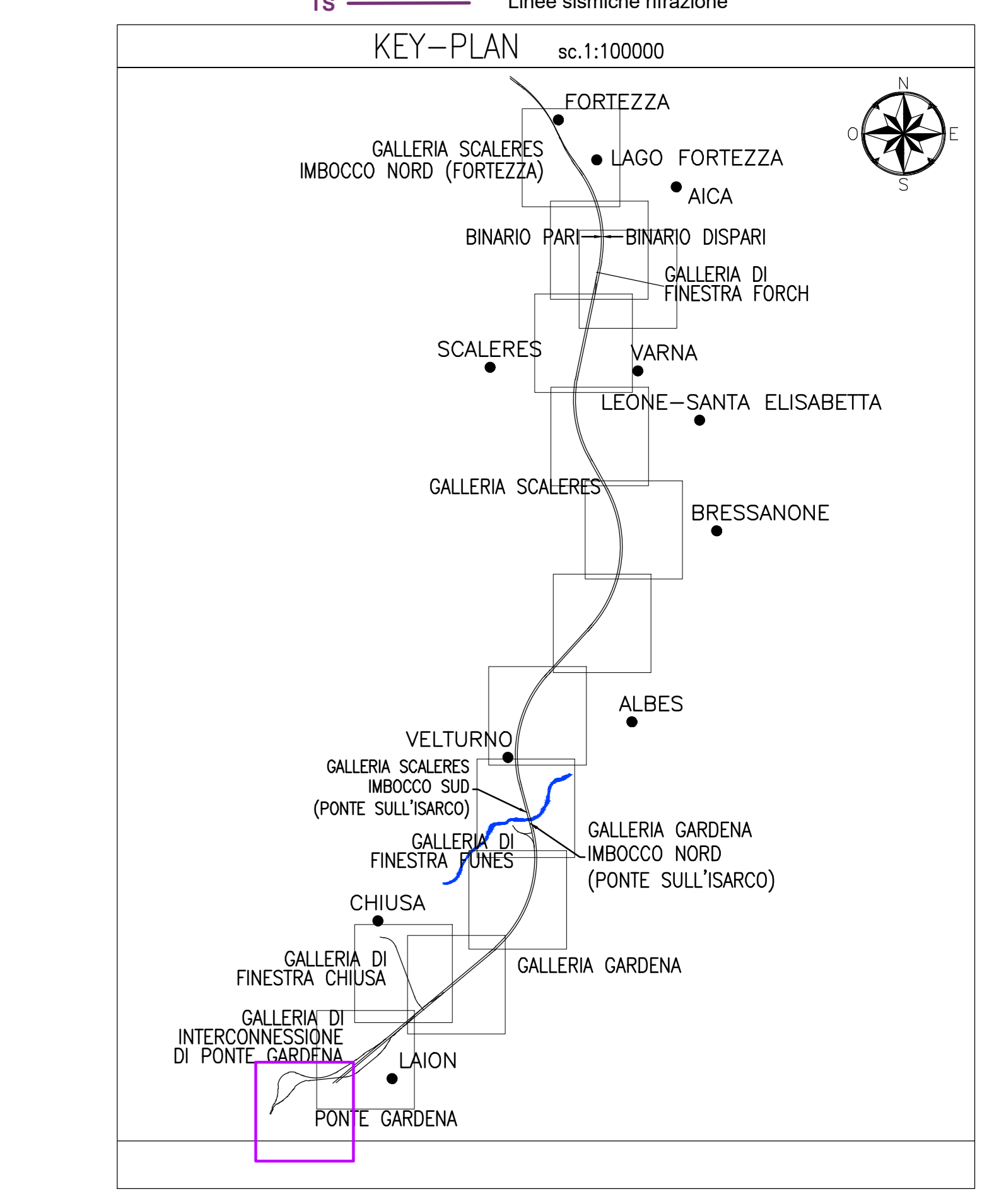


- LEGENDA**
- Depositi quaternari**
- h Depositi antropici
  - d Depositi detritici di versante costituiti da blocchi spigolosi di dimensioni da decimetriche a plurimetriche con matrice sabbioso-ghiaiosa
  - c Depositi detritici a grossi blocchi spigolosi con matrice da scarsa a assente
  - c Depositi detritico colluviali a supporto di matrice sabbioso-limoso con clasti spigolosi, ciottoli e ghiaia di natura corrispondente al substrato roccioso sottostante o ai clasti di depositi glaciali
  - fi Depositi di frana costituiti da accumuli caotici di blocchi eterometrici spigolosi di varia natura in un'abbondante matrice sabbioso-limoso; (fa) attiva; (fi) inattiva
  - da Depositi detritico-alluvionali-valanghivi costituiti da blocchi e ciottoli spigolosi e subarrotondati con matrice ghiaioso-sabbioso-limoso
  - a Depositi alluvionali costituiti da ciottoli subarrotondati e arrotondati in una matrice sabbioso-limoso
  - aa Depositi alluvionali attuali scarsamente pedogenizzati costituiti da blocchi eterometrici da decimetrici a plurimetrici, ciottoli e ghiaia in matrice sabbiosa o sabbioso-limoso e subordinati livelli metrici e pluri-metrici sabbiosi e sabbioso-limosi
  - ar Depositi alluvionali recenti moderatamente pedogenizzati, terrazzati costituiti da blocchi eterometrici da decimetrici a plurimetrici, ciottoli e ghiaie in matrice sabbiosa o sabbioso-limoso e subordinati livelli metrici e pluri-metrici sabbiosi e sabbioso-limosi
  - at1 Depositi alluvionali antichi terrazzati pedogenizzati. Blocchi eterometrici da decimetrici a plurimetrici, ciottoli e ghiaie in matrice sabbiosa o sabbioso-limoso e subordinati livelli metrici e pluri-metrici sabbiosi e sabbioso-limosi; di primo ordine ( at1 ); di secondo ordine ( at2 )
  - df Depositi glaciali, fluvio-glaciali e morenici costituiti da blocchi di dimensione metrica e ciottoli decimetrici poligenici prevalentemente di natura granitica, in abbondante matrice sabbioso-limoso
  - Dlt Depositi deltili glacialocustri, caratterizzati da ghiaie, sabbie e limi laminati
- Magnetismo Permiano**
- VUL a Vulcaniti indifferenziate. Comprendenti lave andesitiche, trachandesitiche, dacitiche e riolitiche con intercalazioni di piroclastiti, ignimbriti e filoni basici. Filoni andesitici e trachandesitici (a)
  - gbi Graniti biotitici e granodioriti (*Granito di Bressanone Auct.*) di colore bianco a grana variabile da media a grossolana, i cui costituenti mineralogici sono rappresentati da K-feldspato, plagioclasio, quarzo e biotite
  - q1 Dioriti quarziferi a grana da fine a media, di colore grigio chiaro, talvolta rossastro sulle superfici alterate e grigio/verde scuro sulla frattura fresca; composizione mineralogica rappresentata da plagioclasio, pirosseno, quarzo e anfibolo
  - q1 Dioriti a grana da fine a medio-grossa, con struttura isotropa, di colore grigio e brunastro su superficie alterata e grigio/verde scuro sulla frattura fresca; composizione mineralogica data da plagioclasio e pirosseno
  - g11 Graniti, dioriti e granodioriti di Tiles, contenenti feldspato, biotite, pirosseno e quarzo
  - BD Breccie di intrusione associate alla granodioriti di Tiles, caratterizzate da clasti a spigoli vivi con un cemento siliceo e subordinatamente carbonatico.
  - q Dioriti quarziferi (*Sistema intrusivo di Chiusa Auct.*) di colore verde scuro, costituite da plagioclasio associato ad anfiboli, pirosseni e miche; presenti abbondanti vene di quarzo
  - MPC Filadi, scisti cornubiantici, cornubiantici filladiche, cornubiantici massiccio e meno comuni magmatici, con variazione del grado metamorfico in funzione della distanza dal contatto magmatico; associazione mineralogica prevalente data da quarzo, K-feldspato, biotite, andalusite, cordierite e granato.
- Basamento metamorfico ercinico - Unità di Bressanone**
- BSSa Filadi a granato di colore grigio con frequente presenza di vene e livelli di quarzo intercalato alla scistosità (BSS), passanti a filladi ricche in quarzo alternate a quarziti e filladi scarsamente quarzose, in cui le porzioni più prettamente quarzite presentano una struttura massiccia (BSSa); porfiroidi organizzati in corpi e lenti all'interno delle filladi ricche in quarzo, con porzioni gneissiche a struttura massiva e porzioni filladiche con una marcata scistosità (f); alternanze di filladi quarzite e filladi carboniose di colore nero/grigio scuro contenenti grafite, quarzo e mica (BSSc)
  - BSSb Filadi (*fillade quarzite di Bressanone Auct.*) e micascisti caratterizzati dalla presenza di quarzo in percentuale variabile
  - PRU Paragneiss di Laion costituiti da gneiss e quarziti con struttura massiccia contenenti quarzo, mica e feldspati alternati a filladi e filladi quarzite
  - FMG Formazione di Gudon (*fillade quarzifera di Bressanone Auct.*) intercalazioni di anfiboliti ad actinolite, albite, clorite ed epidoto e metabasalti
- Simboli geologici**
- Asse di piega di secondo ordine
  - Scistosità
  - Scistosità verticale
  - Giacitura di zona di faglia
  - Contatto stratigrafico
  - Faglia
  - Faglia incerta
  - Lineamento fotointerpretato
  - Faglia normale
  - Faglia normale incerta
  - Sovrascorrimiento
  - Sovrascorrimiento incerto
  - Zone intensamente tettonizzate o danno spinto (breccie grossolane, fault core, cataclasi, ultracataclasi, gouge e kachiriti)
- Simboli geomorfologici**
- Incisioni con potenziali fenomeni di colate detritiche
  - Porzione corticale del substrato roccioso alterata e molto fratturata
  - Conoide di detrito (cd) Conoide alluvionale (cf)
  - Nicchia di frana
  - Nicchia di frana secondaria
  - Forra
  - Trincea
  - Scarpata di degradazione
  - Substrato disarticolato costituito da volumi rocciosi di dimensione variabile traslati per scivolamento e rotazione
  - Blocchi di dimensione plurimetrica
  - Scarpata fluviale
  - Traccia di alveo fluviale abbandonato

- Campagna indagini BBT 2005**
- R-B-04/05 Sondaggi ordinari
- Campagna indagini RFI 2006**
- V2 Sondaggi ordinari
  - V4 Sondaggi profondi
- Campagna indagini 2011 sub-lotto**
- S2 Sondaggi ordinari
- Campagna indagini 2012**
- C5 Sondaggi ordinari
  - S13 Sondaggi profondi
  - L23 Tomografie elettriche
  - P51 Tomografie sismiche a rifrazione
  - MT12 Stazioni magnetotelluriche (AMT)
  - R03 Indagini sismiche Re.Mi - MASW
- Campagna indagini 2017**
- EO30 Sondaggi ordinari
  - EP2 Sondaggi profondi
  - Indagini sismiche Re.Mi - MASW
  - Pes31 Tomografie sismiche a rifrazione
  - TR01 Stazioni di misura HVSR
  - L28 Tomografie elettriche
  - Stazioni magnetotelluriche
  - A Sezioni rilievi magnetotellurici
- Campagna indagini 2021**
- S21-1 Sondaggi integrativi
  - TS Linee sismiche rifrazione, riflessione
  - R-PED Linee sismiche rifrazione
  - TS Linee sismiche rifrazione



**COMMITTENTE:** RFI - Rete Ferroviaria Italiana - Gruppo Ferrovie dello Stato Italiane

**DIREZIONE LAVORI:** ITALFERR - Gruppo Ferrovie dello Stato Italiane

**APPALTATORE:** SWS

**PROGETTAZIONE:** MANDATARI: PINI, GDP GEOMINI, SISTI, GRUPPO GEOMINI, GRUPPO GEOMINI, GRUPPO GEOMINI, GRUPPO GEOMINI

**IL DIRETTORE DELLA PROGETTAZIONE:** GRUPPO GEOMINI, GRUPPO GEOMINI, GRUPPO GEOMINI, GRUPPO GEOMINI

**PROGETTO ESECUTIVO**

**PROGETTAZIONE ESECUTIVA ED ESECUZIONE DEI LAVORI DI REALIZZAZIONE DEL LOTTO 1 DEL QUADRUPPLICAMENTO DELLA LINEA FERROVIARIA FORTEZZA - VERONA TRATTA "FORTEZZA - PONTE GARDENA"**

**DISEGNO**  
05 - GEOLOGIA, IDROGEOLOGIA  
B - Cartografia  
Carte geologiche  
Carta geologica-geomorfologica tav. 14

**APPALTATORE:** SWS

**SCALA:** 1:2.500

COMMESSA	LOTTO	FASE	ENTE	TIPO DOC.	OPERAZIONE	PROGR.	REV.
IB0U	1B	E	Z	GZ	VE	0001	014

Rev.	Descrizione	Redatto	Data	Verificato	Data	Approvato	Data	Autografo Data
A	Emissione	A. Nardani	28/03/2021	P. Perini	31/03/2021	D. Bortolotti	06/04/2021	
B	Emissione e stampa di cartografia e idrogeologia	Altamari	01/10/2022	P. Perini	02/10/2022	D. Bortolotti	06/10/2022	

File: IB0U1BEZZGZE001014B.dwg